



乙型肝炎病毒x蛋白通过靶向miR-200c诱导 DNA异常甲基化

张媛悦1,2) 王淑青3) 刘 岩4)* 刘艳坤2) 李玉辉5) 李玉凤2)*

(1) 华北理工大学研究生院,唐山 063200; 2) 唐山市人民医院肿瘤防治研究所中心实验室,唐山 063000;

³⁾ 华北理工大学校医院, 唐山 063200; ⁴⁾ 华北理工大学生命科学学院, 唐山 063200; ⁵⁾ 唐山市人民医院神经外科, 唐山 063000)

摘要 乙型肝炎病毒 x(hepatitis B virus x, HBx)蛋白是导致肝癌(hepatocellular Carcinoma, HCC)的重要因素. 但HBX 在HCC形成过程中表观遗传机制尚有待阐明.本研究发现microRNA-200c(miR-200c)在过表达乙型肝炎病毒的HCC中下 调,并且其直接靶向DNA甲基转移酶3A(DNA methyltransferase 3A, DNMT3A).此外,miR-200c和DNMT3A在HB诱发 的肝癌组织中呈现负相关. 乙型肝炎病毒诱导 miR-200c 下调,进而引起 DNMT3A 表达上调,导致细胞中肿瘤相关基因的启 动子超甲基化. 我们对乙型肝炎病毒诱导的肝癌表观遗传学改变进行了进一步研究,并提出一种基于miRNA的靶向治疗乙 型肝炎病毒相关肝癌的潜在方法.

关键词 miR-200c, 肝癌, DNMT3A, 乙肝病毒 中图分类号 Q7

肝癌是恶性程度极高的肿瘤, 在世界范围内, 肝癌的死亡率排名第三[1]. 世界上超过50%的肝癌 病例发生在中国. 慢性乙型肝炎病毒 (hepatitis B virus, HBV)的感染是原发性HCC发生、发展的 重要危险因素. 在中国,超过80%的肝癌患者同时 伴有乙型肝炎病毒的感染. HBV 基因中最小开放阅 读框编码的HBx蛋白在HCC发生发展中的作用目 益受到重视[2-4].

近年来的研究表明, 在细胞癌化的过程中, DNA 甲基化、组蛋白修饰、microRNAs (miRNAs) 等表观遗传学的改变在肿瘤发生发展 中起重要调控作用^[5]. DNA 甲基转移酶 (DNA) 家族成员(DNMT1、DNMT3A和DNMT3B)的异 常表达导致癌基因和抑癌基因DNA甲基化异常及 染色体不稳定是包括HCC在内多种肿瘤发病过程 中的早期事件[6-7].此外,已有报道显示在慢性肝 炎或肝硬化的良性肝组织中发现 DNMT 的表达 增加[8].

最近研究报道, HBx蛋白通过甲基化肿瘤相 关基因(tumor-related genes, TRGs)的启动子区 DNA 而导致这些基因沉默 [5-6]. 还有一项重要发 现,外源性HBx能够通过上调DNMT3A和/或

DNMT1增强 DNMT的活性 [9]. 这表明 HBx 可能通 过 DNMT参与HCC 的发生发展, 但是其中详细机

制仍然尚未明确.

DOI: 10.16476/j.pibb.2020.0009

MicroRNAs (miRNAs) 是一种短链和单链 RNA分子,通过与信使RNA的3'-非翻译区(3'-UTR)的不完全互补,调节各种蛋白质编码基因的 表达[10]. 最近的研究表明, miRNAs可作为致癌基 因或抑癌基因来促进或抑制癌变[11-12].此外,已有 研究报道 HBx 在调节 HBV 相关 HCC 中 miRNAs 表 达中的作用,通过 HBx 诱导的 DNA 甲基化,

刘岩. Tel: 15324220508, E-mail: yanliu68@163.com 李玉凤. Tel: 15383055796, E-mail: yufeng_li@tsrmyy.cn 收稿日期: 2020-01-07, 接受日期: 2020-06-09

^{*}通讯联系人.

miRNAs 的表达受到抑制 [13-14]. Pan 等 [15] 发现 miR-21 和 miR-148a 通过直接和间接靶向 *DNMT1* 促成狼疮 CD4 + T细胞 DNA 低甲基化.

因此,我们假设miRNA可能是在HBV诱导的HCC过程中HBV和DNMT之间的信号.本研究发现在过表达HBx的HCC细胞中,miR-200C下调,且miR-200C直接靶向DNMT3A.另一方面,在HBV诱导的HCC组织中下调miR-200C,我们发现DNMT3A的表达增加.此外,miR-200c的下调通过增加HBV相关HCC中的DNMT3A表达来促进DNA过度甲基化.这为进一步阐明HBV诱导的HCC表观遗传学机制提供了基础依据.

1 材料和方法

1.1 细胞培养

正常人肝细胞系 L02、肝细胞瘤细胞系 Hep3B 和 HepG2以及 HBv 感染细胞系 HepG2.2.15 购自美国模式培养物集存库. Hep3B 和 HepG2 细胞培养于含有 10% FBS(Gibco BRL,德国)的 RPMI 1640(Gibco-BRL,德国)的培养基.将 L02 和 HepG2.2.15 细胞培养在补充有 10% FBS(Gibco-BRL,卡尔斯鲁厄,德国)的 DMEM(金桥生物技术有限公司,中国)中.

1.2 转染

Lipofectamine 2000(Invitrogen,加拿大)用于瞬时转染.miR-200c的抑制剂和模拟物购北京博海通达生物科技有限公司(中国).转染后24、48和72h收集细胞.

1.3 免疫印迹

使用RIPA缓冲液(碧云天生物技术公司,中国)制备细胞胞质蛋白质成分. 用于免疫印迹的抗体是HBx、β-肌动蛋白和 DNMT3A. 所有抗体均购自 Santa Cruz Biotechnology(美国).

1.4 质粒

DNMT3A干扰和表达质粒由马立人教授(华北理工大学)友情提供. Ad-GFP和HBx-(Ad)-GFP的质粒由孙树勋教授(华北理工大学)友情提供. 使用逆转录病毒 miR-Vec 载体表达所有 miRNA.

1.5 实时定量PCR (RT-PCR)

使用 SYBR-Green PCR 试剂盒(北京天根生化科技有限公司,中国)进行定量 RT-PCR,并使用GAPDH作为对照. PCR 引物的序列列于附件表S1中.

1.6 人体组织样本

本研究经唐山市人民医院医学伦理委员会批准. 收集唐山市人民医院2018年5月至2019年5月 HCC患者样本(均获得患者知情同意书).

1.7 荧光素酶测定报告

将 4×10³个 HeLa 细胞接种到 96 孔板的每个孔中. 用终浓度为 50 nmol/L 的 miR-200c 模拟物或阴性 对照 RNA 和 10 ng 质粒 pmiR-RB-REPORT™-DNMT3A-3'-UTR-WT 或 pmiR-RB-REPORT™-DNMT3A-3'-UTR-MUT(北京博海通达生物科技有限公司,中国)共转染细胞. 转染后 48 h 收集细胞,并使用双萤光素酶报告基因检测系统

(Promega, 美国)进行分析.将萤光素酶活性标准化为海肾萤光素酶活性.转染成一式两份并在独立实验中重复至少3次.

1.8 甲基化特异性PCR法 (MSP)

使用 DNA 提取试剂盒(KG203, 天根生化科技,中国)提取基因组 DNA. 按照文献报道的方法进行 MSP 测定 [16]. PCR 引物的序列列于附件表 S2 中.

1.9 MTT

将 HepG2 细胞(5×10^3 /孔)接种于96孔板中的 RPMI 1640(100 μl/孔) 中 并 孵 育 24 h. 使 用 Lipofectamine 2000 瞬时转染质粒. 48 h后,向每个 孔中加入20 μl MTT(5 g/L),并将板在37℃下孵育4 h. 孵育后,向每个孔中加入100 μl 二甲基亚砜 以 裂 解 细 胞 . 使 用 多 孔 分 光 光 度 计(Emax; Molecular Devices,Sunnyvale,CA)在570 nm 下 测量吸光度.

1.10 Transwell迁移试验

使用具有8 μm 孔滤器的 Transwell 系统 (Costar, Boston, MA) 测定细胞迁移. 在用完全培养基填充下室后,将0.5×无血清培养基中的1×10⁴个细胞加载到上室中.在37℃温育12 h后,迁移到膜底部表面的细胞用甲醇固定,用0.5%结晶紫染色并用显微镜检查.用棉签除去膜顶表面上的细胞.测量用乙酸洗涤的细胞.45m值.

1.11 统计分析

使用 SPSS 19.0 进行统计学分析. 结果表示为 \bar{x} ±s (SD),并且重复实验至少 3次. Pearson 的相关性和 Student's t 检验用于分析数据. 如果 P<0.05,平均值之间的差异被认为在统计学上是有意义的.

2 结 果

2.1 表达HBx的HCC细胞中miR-200c表达量较低

为了确定 HBx 蛋白对 miRNA 表达的影响,在 人肝细胞系中检测了几种 miRNA(miR-200c、miR-148a、miR-148b、miR-145、miR-146a 和 miR-223)的表达水平. 在L02 和不同的肝癌细胞系,包括 Hep3B、 HepG2 和 HepG2.2.15 中. 发现,HepG2.2.15 细胞中 miR-200c 水平显著低于亲本HepG2细胞以及LO2和Hep3B细胞(图 1a). 在这些细胞系中未观察到 miR-148a、miR-148b、miR- 145、miR-146a 和 miR-223 的显著变化. 这表明 miR-200c 可能是与表达 HBx 的肝癌细胞相关特异性 miRNA.

为了检测 miR-200c 的表达是否通过 HBx 蛋白介导,在亲本 HepG2 细胞转染表达 HBx 的腺病毒,其标记有绿色荧光蛋白(GFP)(Ad-GFP-HBx)表达 GFP 的空质粒作为对照(Ad-GFP). 与对照组的细胞相比(图 1b),在用 Ad-GFP-HBx 感染的HepG2 细胞中 miR-200c 水平显著下调. 而且,转染HBx 特异性 siRNA 的 HepG2.2.15 细胞中 miR-200c 水平显著增加(图 1c). 通过这些数据可以表明HBx是 HCC 中 miR-200c 表达的关键调节因子.

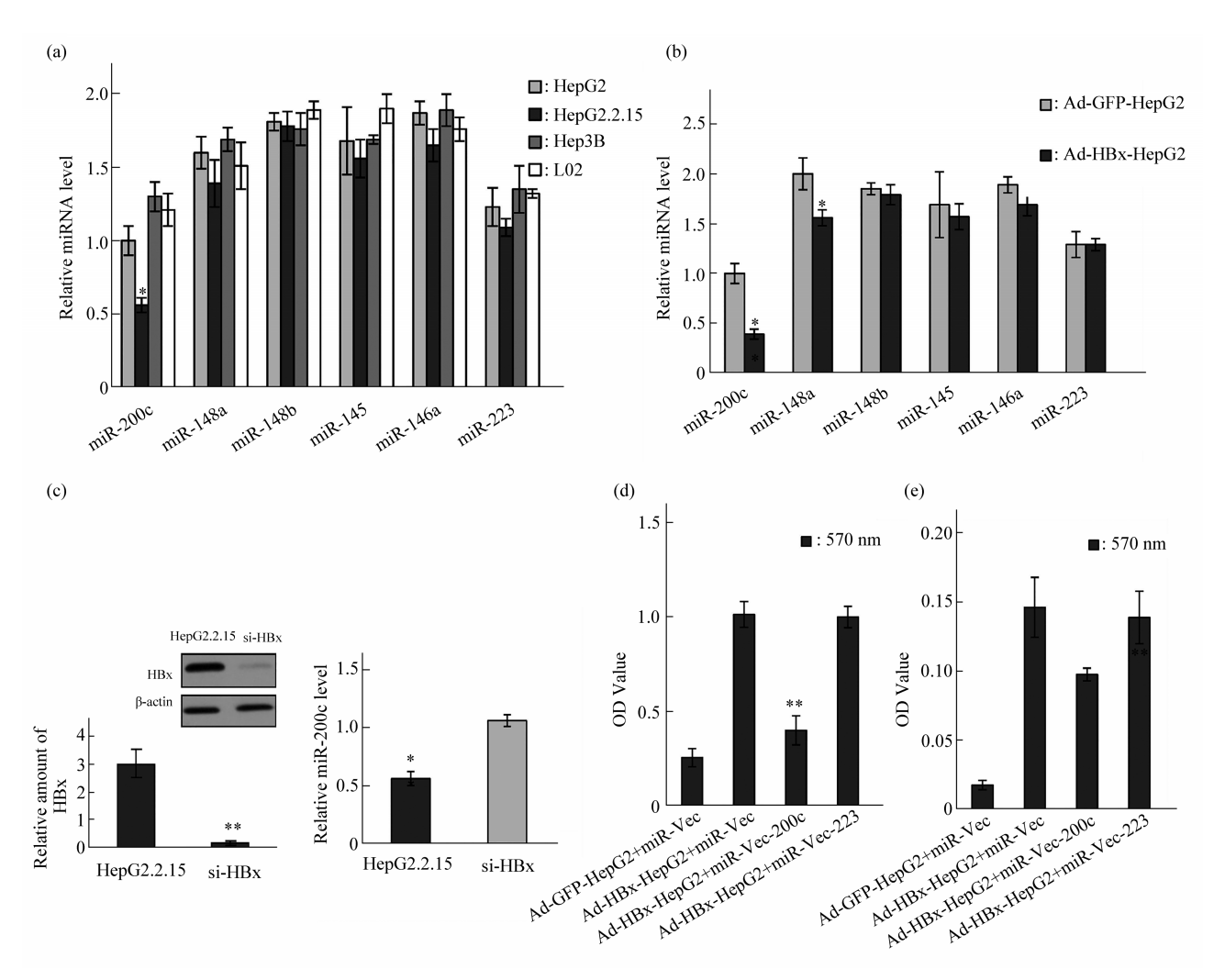


Fig. 1 MiR-200c is an important regulator in HBx-induced enhancement of HCC growth and migration

(a) The expression levels of miR-200c, miR-148a, miR-148b, miR-145, miR-146a and miR-223 were detected in human liver cell lines. (b) Parental HepG2 cells were transfected with green fluorescent protein-labeled adenovirus expressing HBx (Ad-GFP-HBx), and an empty plasmid expressing GFP was used as a control (Ad-GFP) to detect miR-200c, miR-148a, MiR-148b, miR-145, miR-146a and miR-223 expression levels. (c) Detection of miR-200c level in HepG2.2.15 cells transfected with HBx-specific siRNA. (d) MTT method detects the proliferation ability of HepG2 cells co-transfected with Ad-HBx and miR-200c. (e): Transwell method detects the migration ability of HepG2 cells co-transfected with Ad-HBx and miR-200c. The above experiments were repeated three times independently, and the results are expressed as $\bar{x} \pm s$ deviation, *P < 0.05, *P < 0.01.

2.2 过表达miR-200c逆转HBx诱导的HCC生物学变化

为了分析 miR-200c 对 HBx 感染的 HCC 致癌情况的影响,分别通过 MTT 和 Transwell 法分析单独转染 Ad-HBx 及与 miR-200c 共转染 HepG2 细胞的增殖和迁移能力. 转染 48 h后,用 miR-200c 过表达的细胞增殖和迁移能力分别增加 60%(图 1d)和 49%(图 1e).在用 miR-223 共转染的细胞中未观察到明显变化.这些结果表明,miR-200c是 HBx 诱导 HCC生长和迁移增强的重要调节因子.

2.3 miR-200c调节HCC相关基因的启动子区甲基化

HBx蛋白有可能是通过调节HCC中DNA高甲基化来沉默TRGs的重要因子^[5]·综上结果推测,HBx是miR-200c的负调节因子(图 2a),而且我们认为miR-200c可能是HBx与TRGs甲基化水平调控的介质. 早期研究发现,几种肿瘤相关基因在肝癌发生过程中受到DNA高甲基化调节,包括*HIC1*(hypermethylated in cancer 1,H1C1)、细胞因子信号传导抑制因子1(suppressor of cytokine signaling

1, SOCS1)、腺瘤性结肠息肉病相关基因(adenomatous polyposis coli, APC)、CDKN2A(cyclin-dependent kinase inhibitor 2A, CDKN2A)、RASSF1 (Ras association domain family 1A, RASSF1)和GSTP1 (glutathione S-transferase pi 1, GSTP1)[17].

因此,我们研究了在人HCC中miR-200c基因调控的作用.分别用miR-200c抑制剂和miR-200c模拟物转染HepG2和HepG2.2.15细胞.使用MSP测定HIC1、SOCSI、APC、CDKN2A、RASSF1和GSTPI的甲基化水平.抑制miR-200c导致HepG2细胞中HIC1、SOCS1、APC和CDKN2A启动子的甲基化水平增加,而HepG2.2.15细胞中miR200c的过表达导致4个启动子甲基化水平显着降低(图2b).在用miR-200c模拟物和抑制剂转染的细胞中,没有观察到GSTP1和RASSF1启动子甲基化水平的显著变化.我们的数据揭示了miR-200c在调节HCC细胞中SOCSI、HICI、APC和CDKN2A基因在启动子甲基化中的作用.

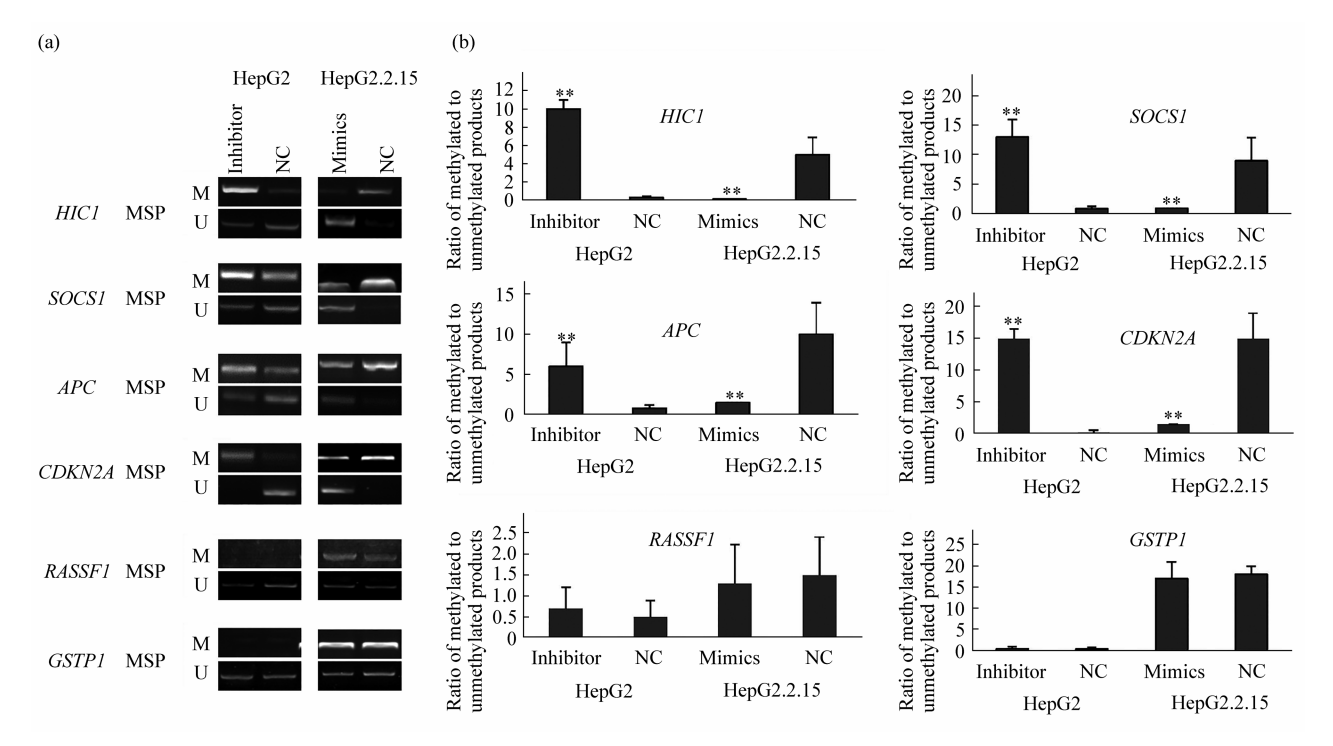


Fig. 2 miR-200c regulates promoter methylation status of tumor-related genes in HCC

The above experiments were repeated three times independently, and the results are expressed as $\bar{x}\pm s$ deviation, *P<0.05, **P<0.01.

2.4 miR-200c参与调控HBx诱导的DNMT3A表达

已有研究表明 DNMT3A在 HCC和慢性肝炎中表 达上调 ^[8]. HepG2.2.15 细胞中 DNMT3A的 mRNA和蛋白质水平均显著高于 HepG2 细胞(图 3a). 为了分析 DNMT3A表达是否受 HBx调节,采用空 miR-Vec 和 Ad-GFP-HBx、Ad-GFP-HBx 和 miR-200c,分别转染HepG2 细胞. 在 Ad-GFP-HBx 的 HepG2 细胞中DNMT3A的 mRNA水平显著上调,而在共转染Ad-GFP-HBx和 miR-200c的细胞中表达水平恢复(图 3b 左). 在蛋白质水平也观察到 DNMT3A类似

的变化(图 3b 右). 这些数据表明,HBx 诱导的DNMT3A 表 达 由 miR-200c 介 导 . 为 了 阐 明DNMT3A是否也参与miR-200c 的调节,分别用表达DNMT3A的质粒,靶向DNMT3A的 siRNA、空质粒或乱序 siRNA 转染 Hep3B 和 HepG2 细胞 . DNMT3A的敲低(图 3c 左)和过表达(图 3c 右)分别在转染 si-DNMT3A 和表达 DNMT3A的表达质粒细胞中得到证实 . 然而,DNMT3A的过表达和敲低 均 未 影 响 miR-200c 表 达 (图 3d),表明DNMT3A不是miR-200c的调节分子 .

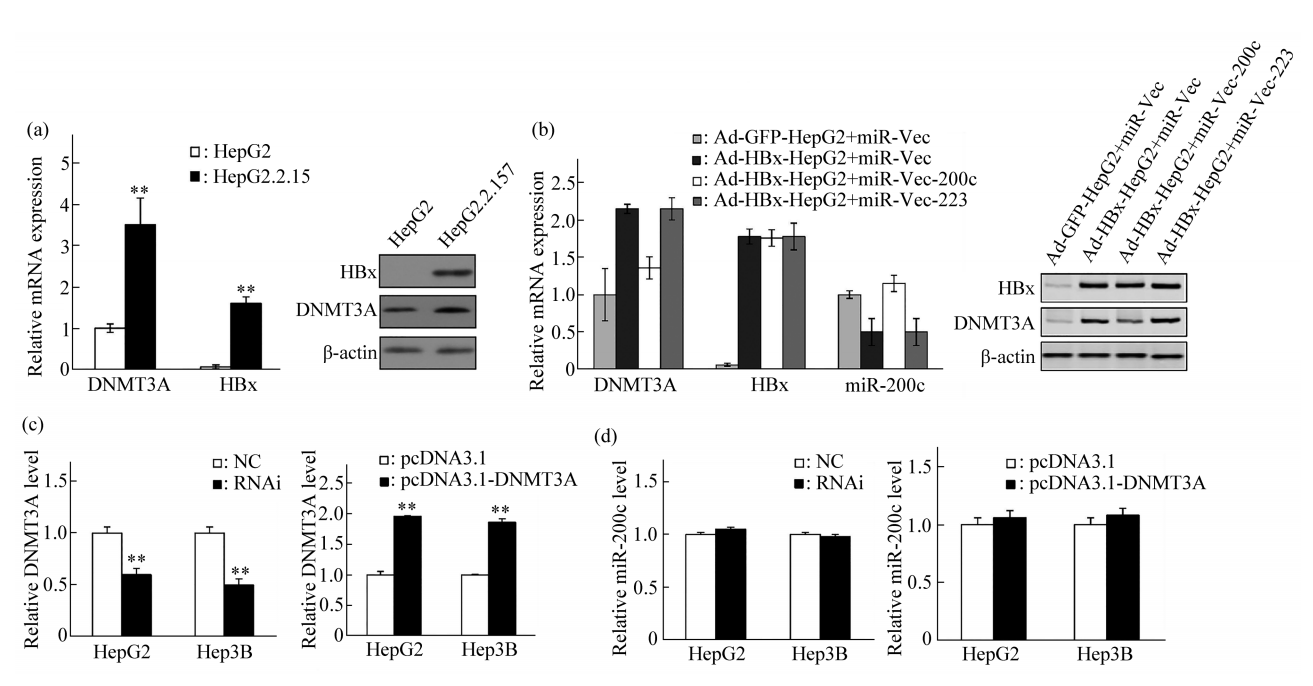


Fig. 3 miR-200c is a mediator in HBx-induced expression of DNMT3A

(a) mRNA and protein levels of DNMT3A and HBx in HepG2.2.15 cells and HepG2 cells. (b) 1) Empty miR-Vec and Ad-GFP vector, 2) Empty miR-Vec and Ad-GFP-HBx, 3) Ad-GFP-HBx and miR-200c were transfected into HepG2 cells respectively to detect the mRNA and protein levels of DNMT3A, HBx, miR-200c. (c, d) Transfect Hep3B and HepG2 cells with plasmids expressing DNMT3A, siRNA targeting DNMT3A, empty plasmids or scrambled siRNAs, and detect DNMT3A levels and miR-200c levels. The above experiments were repeated three times independently, and the results are expressed as $\bar{x}\pm s$ deviation, *P < 0.05, **P < 0.01.

2.5 miR-200c直接靶向DNMT3A

使用 miRanda 和 TargetScan 预测程序进行靶标 预测分析. DNMT3A 可能是 miR200c 的作用靶基 因, 因为 DNMT3A mRNA 中的 3'UTR 含有 miR-200c 种子序列的互补位点(图 4a). 为了确定 miR-200c 是否是 DNMT3A 的直接调控因子,在 T细胞 萤光素酶报告基因的下游克隆了一个含有突变或野生 型(WT) miR-200c 结合位点的 DNMT3A 3'UTR 片段(图 4a). 与含有 DNMT 3A 3'UTR (WT) 和乱序对照的报告质粒共转染的细胞相比,

用含有 DNMT 3A 3'UTR(WT)和 miR-200c 模拟物的报告质粒共转染的细胞和加扰对照中的萤光素酶活性显着降低(图 4b). 在用含有突变体DNMT3A 3'UTR 和 miR-200c 模拟物的报告质粒共转染的细胞中萤光素酶活性未改变(图 4b). 这些结果表明,miR-200c 通过与 DNMT3A mRNA 的3'UTR 序列结合而抑制 DNMT3A 转录. 作为对照,这些实验用 DNMT3B 和 DNMT3C 进行,且没有发现显著差异(图 4f).

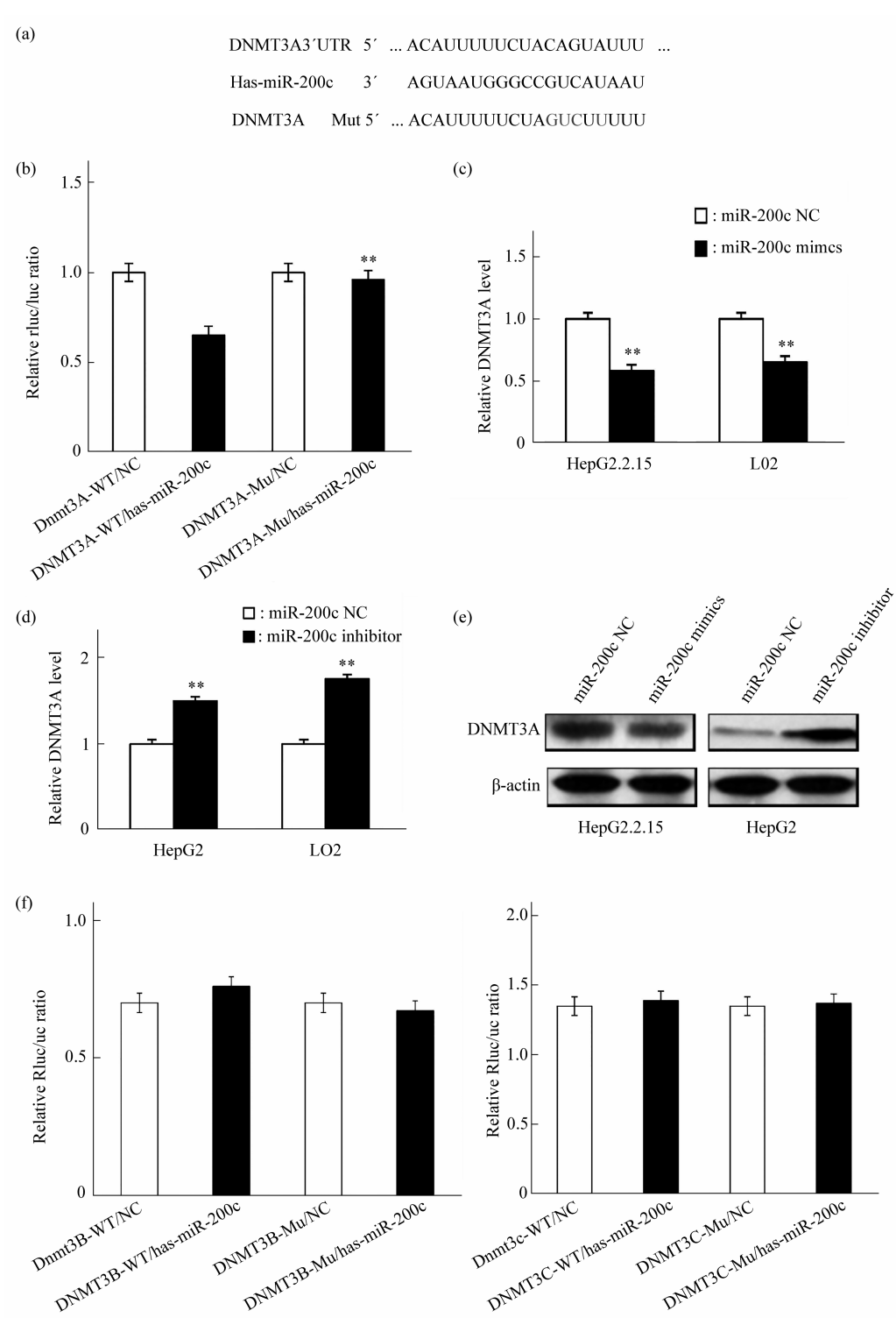


Fig. 4 miR-200c targets DNMT3A directly

(a) A DNMT3A 3'UTR fragment containing a mutant or wild-type (WT) miR-200c binding site was cloned downstream of the T cell luciferase reporter gene. (b) Co-transfect cells with a reporter plasmid containing DNMT 3A 3'UTR (WT) and miR-200c mimic and scramble the luciferase activity in the control. (c,e) Use miR-200c mimic Or scrambled miRNAs were transfected into HepG2.2.15 and L02 cells, and the mRNA and protein levels of DNMT3A were measured. (d, e) Overtransfection of miR200c inhibitor inhibits miR-200c in L02 and HepG2 cells, and measures the mRNA and protein levels of DNMT3A. (f) A control experiment with DNMT3B and DNMT3C. The above experiments were repeated three times independently, and the results are expressed as $\bar{x}\pm s$ deviation, *P<0.05, *P<0.01.

2.6 miR-200c调节肝细胞中DNMT3A的表达

为了确定 miR200c 是否为 DMNT3A 的上游调节分子,用 miR-200c 模拟物或乱序 miRNA 转染 HepG2.2.15 和 L02 细胞 ,并使用 RT-PCR 测定 DNMT3A 表达. 结果表明,miR-200c 的过表达导致 DNMT3A mRNA 水平以及转染后 48 h 的蛋白质水平显著降低(图 4c, e).此外,通过转染 miR200c

抑制剂,抑制L02和HepG2细胞中的miR-200c提高了DNMT3A的mRNA和蛋白质水平(图4d,e).这些数据表明miR-200c是正常和恶性肝细胞中DNMT3A的上游负调分子.作为对照,这些实验也用DNMT3B和DNMT3C进行,但没有发现显著差异(图5a,b,c).

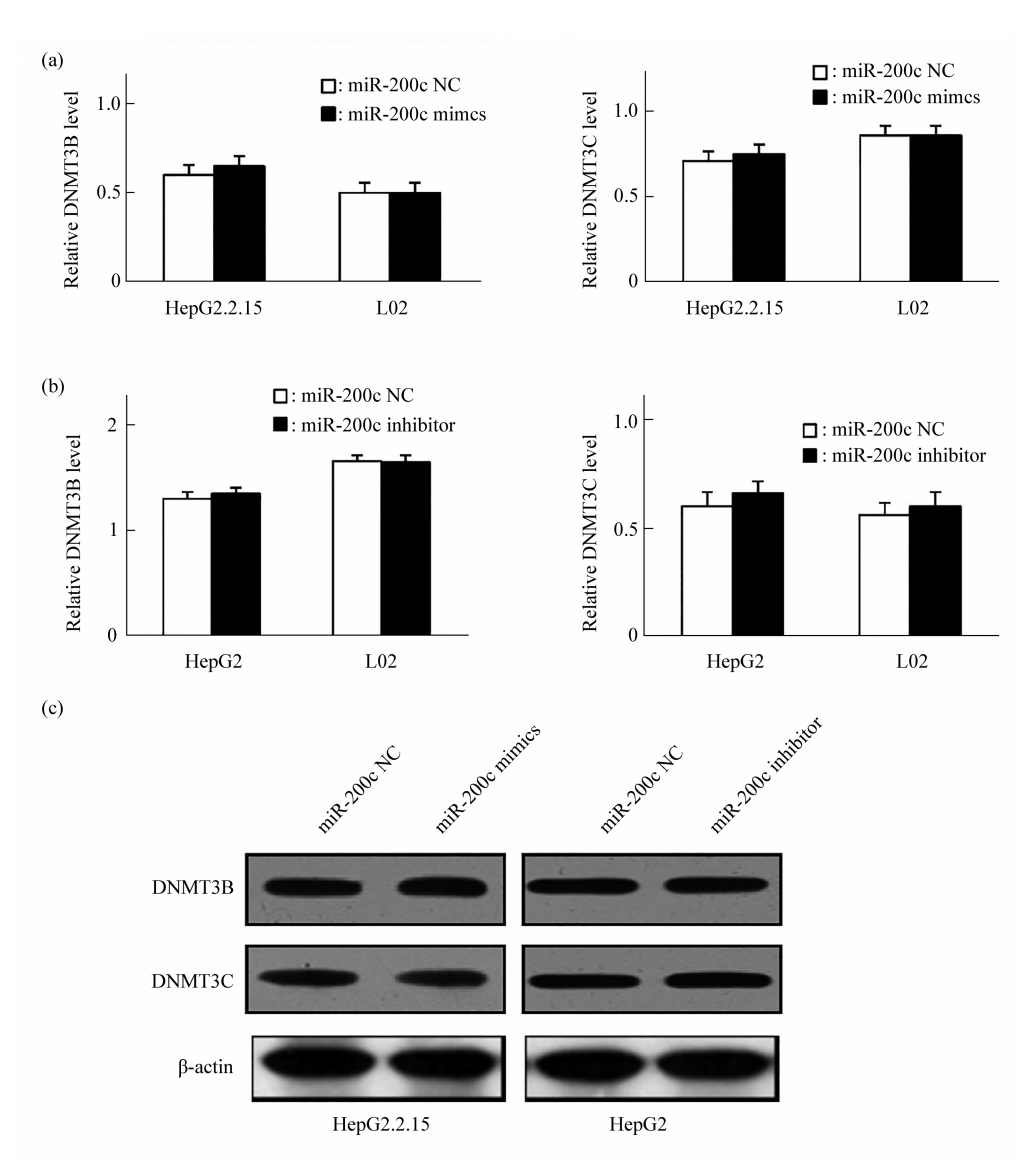


Fig. 5 Control experiments at DNMT3B and DNMT3C

3 讨 论

一些肿瘤相关基因的异常表达部分通过表观遗传机制介导^[18].虽然基因启动子的异常 DNA 超甲基化在病毒相关恶性肿瘤中是常见的,包括 HBV 相关的 HCC,但与病毒相关恶性肿瘤的表观遗传

机制尚未得到充分的研究.越来越多的证据表明,病毒蛋白在调节 DNA 甲基化中起着重要的作用^[19].在 HBV 诱导的肝癌中,HBx 可能是调节 DNA 甲基化的关键因素^[20].早期研究揭示 HBx 水平与 TRGs 的表观遗传调节之间的显著相关性,包括 *HIC1、SOCS1、APC、CDKN2A、RASSF1* 和

GSTP1 ^[21]. 然而, HBV诱导的 DNA 甲基化变化的机制仍不清楚. 本研究揭示了 HBx 介导的 miR-200c 低表达通过直接上调 DNMT3A 促进 HCC 中*CDKN2A、APC、SOCS1* 和 *RASSF1* 的启动子高甲基化.

与癌旁组织相比,在HBV相关HCC患者的肿瘤样品中观察到 miR-200c 表达降低,表明 miR-200c 可能在HBV诱导的肝癌发生中发挥作用. 我们观察到这些肿瘤样品中 miR-200c降低与DNMT3A表达增加呈负相关. DNMT3A诱导的人肿瘤 CpG岛异常 DNA 甲基化与肿瘤抑制基因在癌变过程中的转录抑制密切相关 [22].

除肝癌外, miR-200c 在卵巢肿瘤、非小细胞肺癌中下调, 低 miR-200c 与预后不良相关 [23-24]. miR-200c 有可能成为胃癌患者病情进展和病患存活的预测因子 [25]. miR-200c 的调节可作为抑制结直肠癌转移的治疗工具 [26].

总之,我们的数据为理解HBx蛋白的功能及其在HCC肿瘤发生中的作用提供了新的认识,并发现了miR-200c在肿瘤发生中的重要作用.miR-200c可能是HBV诱导的HCC治疗新靶点,为肝癌的治疗诊断研究提供新思路.

附件 20200009_表 S1、表 S2 见本文网络版(http://www.cnki.net或http://www.pibb.ac.cn).

参考文献

- Jemal A, Bray F, Center M M, et al. Global cancer statistics. CA Cancer J Clin, 2011, 61(2): 69-90
- [2] Kim C M, Koike K, Saito I, et al. HBx gene of hepatitis B virus induces liver cancer in transgenic mice. Nature, 1991, 351(6324): 317-320
- [3] Wang Y L, Cui F, Lv Y X, et al. HBsAg and HBx knocked into the p21 locus causes hepatocellular carcinoma in mice. Hepatology (Baltimore, Md), 2004, 39(2): 318-324
- [4] Paterlini P, Poussin K, Kew M, et al. Selective accumulation of the X transcript of hepatitis B virus in patients negative for hepatitis B surface antigen with hepatocellular carcinoma. Hepatology (Baltimore, Md), 1995, 21(2): 313-321
- [5] Novak K. Epigenetics changes in cancer cells. MedGenMed,2004, 6(4):17
- [6] Robertson K. D. DNA methylation and human disease. Nat. Rev. Genet,2005,6(8),597-610

- [7] Cécile D, Mounir E M, Tom G, et al. Combined analysis of DNA methylation and cell cycle in cancer cells. Epigenetics, 2015, 10(1): 82-91
- [8] Choi M S, Shim Y H, Hwa J Y, et al. Expression of DNA methyltransferases in multistep hepatocarcinogenesis. Hum. Pathol,2003,34(1):11-17
- [9] Park I Y, Sohn B H, Yu E, et al. Aberrant epigenetic modifications in hepatocarcinogenesis induced by hepatitis B virus X protein. Gastroenterology, 2007, 132(4): 1476-1494
- [10] Bartel D P. MicroRNAs: genomics, biogenesis, mechanism, and function. Cell,2004, 116(2), 281-297
- [11] Anuradha B, Hu L J, Marshonna F, et al. Identification of metastasis-related microRNAs in hepatocellular carcinoma. Hepatology, 2008, 47(3): 897-907
- [12] Dong Q C, Meng P, Wang T, et al. MicroRNA let-7a inhibits proliferation of human prostate cancer cells in vitro and in vivo by targeting E2F2 and CCND2. Plos One, 2010, 5(4): e10147
- [13] Wei X F, Tan C, Tang C Y, et al. Epigenetic repression of miR-132 expression by the hepatitis B virus x protein in hepatitis B virus-related hepatocellular carcinoma. Cellular Signalling, 2013, 25(5): 1037-1043
- [14] Chen J J, Tang Y S, Huang S F, et al. HBXprotein-induced upregulation of microRNA-221 promotes aberrant proliferation in HBVrelated hepatocellular carcinoma by targeting estrogen receptor-alpha. Oncol. Rep. 2015, 33(2): 792-798
- [15] Pan W, Zhu S, Yuan M, et al. MicroRNA-21 and microRNA-148a contribute to DNA hypomethylation in lupus CD4+ T cells by directly and indirectly targeting DNA methyltransferase 1. Journal of Immunology (Baltimore, Md: 1950), 2010, 184(12): 6773-6781
- [16] Qian T, Lode J S, Jie Y, et al. Methylation status of the Epstein-Barr virus major latent promoter C in iatrogenic B cell lymphoproliferative disease. The American Journal of Pathology, 1999, 155(2): 619-625
- [17] Nishida N, Kudo M, Nagasaka T, et al. Characteristic patterns of altered DNA methylation predict emergence of human hepatocellular carcinoma. Hepatology, 2012, 56(3): 994-1003
- [18] Ichimura N, Shinjo K, An B, et al. Aberrant TET1 methylation closely associated with CpG island methylator phenotype in colorectal cancer. Cancer Prevention Research (Philadelphia, Pa), 2015, 8(8): 702-711
- [19] Li H P, Leu Y W, Chang Y S. Epigenetic changes in virus-associated human cancers. Cell Research, 2005, **15**(4): 262-271
- [20] Zheng D L, Zhang L, Cheng N, et al. Epigenetic modification induced by hepatitis B virus X protein via interaction with de novo DNA methyltransferase DNMT3A. Journal of Hepatology, 2009, 50(2): 377-387
- [21] Formosa A, Lena A M, Markert E K, et al. DNA methylation silences miR-132 in prostate cancer. Oncogene, 2013, 32(1): 127-134

- [22] Jones P A, Baylin S B. The epigenomics of cancer. Cell, 2007, **128**(4): 683-692
- [23] Cittelly D M, Dimitrova I, Howe E N, et al. Restoration of miR-200c to ovarian cancer reduces tumor burden and increases sensitivity to paclitaxel. Molecular Cancer Therapeutics, 2012, 11(12):2556-2565
- [24] Paolo C, Giridhar M, Regalla K, *et al.* Loss of miR-200c expression induces an aggressive, invasive, and chemoresistant
- phenotype in non-small cell lung cancer. Molecular Cancer Research, 2010, **8**(9): 1207-1216
- [25] Manuel V A, Margarita R, Vanessa M-V, et al. Circulating miR-200c as a diagnostic and prognostic biomarker for gastric cancer. Journal of Translational Medicine, 2012, 10(1): 186
- [26] Ling C M, Sen L L, Kang W X. miR-200c inhibits invasion and migration in human colon cancer cells SW480/620 by targeting ZEB1. Clinical & Experimental Metastasis, 2012, 29(5): 457-469

Hepatitis B Virus x Protein Induces Aberrant DNA Methylation by Targeting miR-200c

ZHANG Yuan-Yue^{1,2)}, WANG Shu-Qing³⁾, LIU Yan^{4)*}, LIU Yan-Kun²⁾, LI Yu-Hui⁵⁾, LI Yu-Feng^{2)*}

(1)Graduate School of North China University of Science and Technology, Tangshan 063200, China;

2)Central Laboratory of Cancer Research Institute of Tangshan People's Hospital, Tangshan 063000, China;

3)North China University of Science and Technology School Clinic, Tangshan 063200, China;

4)School of Life Science,North China University of Science and Technology, Tangshan 063200, China;

5)Department of Neurosurgery, Tangshan People's Hospital, Tangshan, 063000, China)

Abstract The hepatitis B virus x (HBx) protein has been implicated in the pathogenesis of HBV-associated hepatocellular carcinoma (HCC). The mechanisms of HBx involved in epigenetic changes during hepatocarcinogenesis are still obscure. We report here that microRNA-200c (miR-200c) was downregulated in HBV-expressing HCC cells and it targeted DNMT3A directly. In addition, an inverse correlation between miR-200c and DNA methyltransferase 3A (DNMT3A) was founded in HBV-induced HCC tissues. HBV-induced downregulation of miR-200c upregulated DNMT3A expression, and then resulted in promoter hypermethylation of tumor-related genes in HCC. Our data supplied an epigenetic insight into HBV-induced HCC and identified a potential miRNA-based targeted approach for treating HBV-related HCC.

Key words miR-200c, HCC, DNMT3A, HBV **DOI:** 10.16476/j.pibb.2020.0009

* Corresponding author.

LIU Yan. Tel: 86-15324220508, E-mail: yanliu68@163.com
LI Yu-Feng. Tel: 86-15383055796, E-mail: yufeng_li@tsrmyy.cn
Received: January 7, 2020 Accepted: June 9, 2020